

*С.В. Иващенко, С.М. Босяков, К.С. Юркевич*

**Расчет перемещений корней зубов в нормальной и ослабленной костной ткани  
для различных клинических случаев**

*Белорусский государственный медицинский университет,  
Белорусский государственный университет*

В работе представлены результаты расчета перемещений однокоренных зубов в нормальной и ослабленной кортикальной ткани под действием сосредоточенной нагрузки. Расчеты перемещений выполнены с учетом уменьшения величины нагрузки, действующей со стороны ортодонтического аппарата на корень зуба, с течением времени.

**Ключевые слова:** перемещения корней зубов, нормальная и ослабленная костная ткань.

Ортодонтическое лечение зубочелюстных аномалий является одним из важных вопросов современной стоматологии. Аномалии, не устранные в детском возрасте, проявляются у взрослых в более тяжелой форме. Аномалийное положение фронтальных зубов вызывает эстетические и функциональные нарушения челюстно-лицевой области, влияет на психику взрослого человека, часто является одной из причин заболевания периодонта, иногда является ограничением в выборе профессии .

По мнению ряда авторов [1,4,7,10,13], лечение зубочелюстных аномалий у взрослых имеет свои особенности, которые обусловлены рядом следующих факторов: 1) ортодонтическое лечение проводится в период законченного формирования лицевого скелета; 2) костная ткань в этом возрасте менее податлива и труднее перестраивается под влиянием ортодонтического лечения; 3) зубочелюстные деформации усугубляются дефектами и вторичной деформацией зубных рядов; 4) ортодонтическое лечение более продолжительное, чем у детей; 5) после ортодонтического лечения аномалии часто наступают рецидивы; 6) взрослые труднее привыкают к ортодонтическим аппаратам; 7) не все виды зубочелюстных аномалий у взрослых поддаются чисто ортодонтическому лечению.

**Материал и методы**

Все эти факторы побудили изыскивать новые комплексные методы лечения зубочелюстных аномалий у взрослых.

Разработаны различные методы сокращения активного периода ортодонтического лечения. Все они направлены на повышение пластичности костной ткани и снижение ее механической прочности путем воздействия на компактную пластиинку и губчатое вещество кости. С этой целью применяют различные оперативные вмешательства: остеотомию, компактостеотомию, декортикацию и удаление зубов [7,12].

Однако нарушение целостности костной ткани, неизбежное при хирургическом вмешательстве, сопряжено с травмой, изменением метаболических и трофических процессов, может приводить к различным осложнениям в связи с инфицированием раны. Оперативное вмешательство требует высокой квалификации хирурга в условиях стационара. Сами пациенты иногда отказываются из-за страха перед операцией. Также существуют местные и общие противопоказания для проведения лечения [4,7].

С учетом вышеизложенного возникает необходимость изыскивать эффективные методы лечения, исключающие оперативные вмешательства. Перспективными в этом плане являются физиотерапевтические методы воздействия на уровень минеральной насыщенности и клеточные элементы костной ткани.

**Результаты и обсуждение**

Экспериментальные исследования п.Н.Аль-Хаири [2] свидетельствуют о том, что можно значительно сократить показания к оперативным вмешательствам при комплексном лечении зубочелюстных аномалий у детей, используя очаговый дозированный вакуум по В.п. Кулаженко [9]. Автор установил, что после воздействия очаговым дозированным вакуумом на периодонт в области перемещаемых зубов в его тканях происходит избирательное повреждение капилляров и тканевых структур, при этом клетки высвобождают биологически активные вещества, усиливаются ферментные процессы, способствующие направленной перестройке костных структур.

Л.В.Сорокина [16] в эксперименте, выполненном на 94 белых крысах, выявила, что изменения в тканях после вакуумного воздействия и хирургического повреждения идентичны. Это послужило предпосылкой для применения очагового дозированного вакуумного повреждения с целью стимуляции перестройки костной ткани под воздействием ортодонтической аппаратуры и сокращения сроков лечения детей. Курс вакуумной стимуляции во время лечения ортодонтическими аппаратами состоял из 4–6 процедур и зависел от выраженности аномалий.

С.п.Криштаб с соавт. [8] изучили влияние очагового дозированного вакуума на продолжительность ортодонтического лечения больных прогенией. Курс вакуумной стимуляции зависел от степени тяжести прогении и состоял из 4–5 процедур с интервалами в 3–5 дней. Продолжительность лечения больных с применением очагового дозированного вакуума сократилась в среднем на 4–7 мес по сравнению с лечением обычным способом. Кроме этого С.п.Криштаб с соавт. разработали также методику вибрационного воздействия при лечении аномалий положения отдельных зубов. Сущность его заключается в том, что колебания высокого и низкого давлений, возникающие в периодонтальной щели и прилегающей ткани при действии вибратора, создают эффект насоса, всасывающего кровь и тканевую жидкость в данную зону, а затем извлекающего их из этой зоны в ходе каждого цикла. В результате интенсивность тканевого обмена возрастает, что ведет к активизации процессов резорбции и костеобразования. Волокна периодонта расслабляются, вследствие чего облегчается движение зуба. На перемещаемый зуб оказывали вибрационное воздействие, а затем активировали ортодонтический аппарат. Вибрационное воздействие повторяли через 2–3 дня, после 3 процедур делали перерыв на 7–10 дней. Амплитуду, продолжительность вибрации и количество процедур определяли с учетом групповой принадлежности зуба и возраста больного. Полученные результаты свидетельствуют, что вибрационное воздействие сокращает сроки перемещения зубов в 1,5–2 раза.

А.Н. Чумаков с соавт. [17] с целью сокращения активного периода ортодонтического лечения применили высокочастотный ультразвук. Ускорение перемещения зубов под воздействием ультразвука авторы связывают с возникновением локального остеопороза, носящего обратимый характер, повышением пластичности кости и с вероятным селективным влиянием данного метода на ткани периодонта, находящегося в состоянии хронической микротравмы, вызываемой ортодонтическими аппаратами.

О.п. Ефанов и П.В. пванов [5] изучали влияние электрофореза трилона Б на костную ткань челюстей собак в эксперименте. На основании морфологических исследований они показали, что электрофоретическое введение трилона Б можно применять для снижения минеральной насыщенности костной ткани.

Е.Ю. Симановская с соавт. [17], основываясь на данных, полученных в эксперименте, включили в комплекс ортодонтического лечения помимо аппаратурного воздействия курс физиотерапии, состоящий из очагового дозированного вакуума и

электрофореза 2% -ного раствора лития хлорида. Сроки лечения больных детей старшего школьного возраста и взрослых при этом сократились в 2–2,5 раза.

С.А. Наумович [12] на основании клинико-экспериментальных исследований рекомендовал в активном периоде ортодонтического лечения (без компактостеотомии) ежедневное облучение периодонта перемещаемых ортодонтическим аппаратом зубов сочетанным излучением гелий-неонового ( $\lambda=632,8$  нм) и гелий-кадмиевого ( $\lambda= 441,6$  нм) лазеров с выходной мощностью 20МВт с экспозицией на одну точку 0,5-1 мин. с количеством процедур 8-9 на 1-2 курса лечения.

п.п. Гунько [4] получил хорошие результаты при применении в активном периоде ортодонтического лечения магнитофореза и высокочастотного ультрафонографеза трилона Б.

Таким образом, литературные данные свидетельствуют о том, что имеется много методов физиотерапевтического и лекарственного воздействия на костную ткань челюстей для оптимизации ортодонтического лечения. Все перечисленные выше методы приводят к деминерализации и ослаблению костной ткани. Однако в доступной литературе мы не нашли расчётов перемещений зубов в ослабленной костной ткани.

Цель настоящей работы: рассчитать перемещения однокоренных зубов для различных клинических случаев, соответствующих действию сосредоточенной силы в вестибуло-оральном и медио-дистальном направлениях, с учетом времени действия нагрузки и состояния костной ткани.

### Определение перемещений

Будем считать корень зуба абсолютно твердым телом, которое имеет форму эллиптического двуполостного гиперболоида [13]. В этом случае уравнение поверхности корня можно представить в виде:

$$F(x_1, x_2, x_3) = 1 + x_1/H \sqrt{x_1^2/a_1^2 + x_2^2/b^2 + p^2},$$

где  $x_i \equiv x$ ,  $x_3 \equiv z$  - пространственные координаты,  $H$  - параметр, описывающий высоту корня зуба,  $p$  - параметр, характеризующий закругление вершины корня зуба,  $a_1 = a_2$  при  $x_1 \geq 0$  и  $a_1 = a_3$  при  $x_1 < 0$ ,  $a_1, a_2, \delta$  - полуоси эллипса в сечении корня зуба.

Если на зуб действует произвольным образом ориентированная сосредоточенная нагрузка, корень зуба получает три поступательных перемещения вдоль осей координат и три поворота вокруг осей координат. Перемещения точек костной ткани  $u_1, u_2$  и  $u_3$ , контактирующих с поверхностью корня зуба, в направлении координатных осей, представим в следующем виде [10]:

$$\boldsymbol{d} = \boldsymbol{d}_0 + \boldsymbol{\phi} \times (\boldsymbol{r} - \boldsymbol{r}_0), \quad (1)$$

где  $\boldsymbol{d} = (u_1, u_2, u_3)$ ,  $\boldsymbol{d}_0 = (u_{01}, u_{02}, u_{03})$  - вектор поступательных перемещений корня зуба вдоль координатных осей,  $\boldsymbol{\phi} = (\varphi_1, \varphi_2, \varphi_3)$  - вектор углов поворота зуба вокруг осей координат,  $\boldsymbol{r}$  - радиус-вектор точки, для которой определяются перемещения,  $\boldsymbol{r}_0$  - радиус-вектор, определяющий положение центров сопротивления корня зуба. С учетом существования оси симметрии, перпендикулярной оси  $0y$ , центр сопротивления при действии силы вдоль оси  $0x$  имеет координаты  $(0, 0, x_{11})$ , центр сопротивления при действии силы вдоль оси  $0y$  имеет координаты  $(x_{12}, 0, x_{22})$ , центр сопротивления при действии силы вдоль оси  $0z$  имеет координаты  $(x_{13}, 0, 0)$ . С учетом этого, выражения для упругих перемещений костной ткани (1) можно представить в следующем виде:

$$\begin{aligned} u_1 &= u_{01} + (x_1 - x_{11})\varphi_2 - y\varphi_3, \\ u_2 &= u_{02} + (x_1 - x_{12})\varphi_1 - (x_3 - x_{22})\varphi_1, \\ u_3 &= u_{03} + x_1\varphi_1 - (x_1 - x_{13})\varphi_2. \end{aligned} \quad (2)$$

Поступательные перемещения корня зуба и координаты центров сопротивления определим из условия равенства нулю главного вектора и главного момента всех сил, действующих на зуб, а также условия равенства нулю напряжений, возникающих на поверхности контакта корня зуба и костной ткани  $\boldsymbol{F} = 0$  [10]:

$$\int_F (\boldsymbol{n} \cdot \boldsymbol{T} dF - \hat{\boldsymbol{R}}) = 0 \quad (3)$$

$$\int_F ((\boldsymbol{r} - \boldsymbol{r}_0) \times (\boldsymbol{n} \cdot \boldsymbol{T}) ds - \hat{\boldsymbol{M}}) = 0.$$

Здесь  $\hat{\boldsymbol{M}} = (M_1, M_2, M_3)$  - главный момент внешних сил,  $\hat{\boldsymbol{R}} = (R_1, R_2, R_3)$  - главный вектор внешних сил,  $\boldsymbol{n}$  - вектор нормали к поверхности  $\boldsymbol{F} = 0$  корня зуба,  $\boldsymbol{T}$  - тензор напряжений, возникающих на поверхности контакта корня зуба и периода. Компоненты тензора напряжений представим в виде:

$$T_{ij} = 2G \left( \frac{\partial u_i}{\partial x_j} + \frac{\nu \delta_{ij}}{1-2\nu} \sum_{k=1}^3 \frac{\partial u_k}{\partial x_k} \right), \quad i, j = 1, 3,$$

где  $G = E/(2(1+\nu))$  - модуль сдвига,  $E$  - модуль упругости,  $\nu$  - коэффициент Пуассона,  $\delta_{ij} = 1$ , если  $i = j$ ,  $\delta_{ij} = 0$ , если  $i \neq j$ ,  $i, j = 1, 3$ .

После несложных преобразований граничных условий (3) будем иметь выражения для координат центров сопротивления и соотношения для поступательных перемещений [13]

$$\begin{aligned} x_{11} &= \frac{H \left( 3(1-p^2) \frac{b^2}{H^2} + \left( \frac{yb^2}{a_1 a_2} + \frac{y b^2}{H^2} + 1 \right) (1-3p^2+2p^4) \right)}{3 \left( (1-p^2) \left( \frac{yb^2}{2a_1 a_2} + \frac{b^2}{H^2} + \frac{1}{2} \right) + \left( 1 + \frac{yb^2}{a_1 a_2} \right) p^2 \ln(p) \right)}, \\ x_{22} &= \frac{4(a_1 - a_2) \left( \frac{2H^2}{b^2} \left( \frac{\sqrt{1-p^2}}{3} - p^2 \sqrt{1-p^2} + p^2 \arctg \frac{\sqrt{1-p^2}}{p} \right) + \sqrt{1-p^2} \right)}{3\pi \left( \left( \frac{H^2}{b^2} + \frac{2H^2}{a_1 a_2} \right) \left( \frac{1-p^2}{2} + p^2 \ln(p) \right) + 1 - p^2 \right)}, \\ x_{13} &= \frac{4(a_1 - a_2) \left( \frac{H^2}{b^2} \left( \frac{\sqrt{1-p^2}}{3} - p^2 \sqrt{1-p^2} + p^2 \arctg \frac{\sqrt{1-p^2}}{p} \right) + \sqrt{1-p^2} \right)}{3\pi \left( H \left( \frac{1}{b^2} + \frac{1}{a_1 a_2} \right) \left( \frac{1-p^2}{2} + p^2 \ln(p) \right) + 1 - p^2 \right)}, \\ x_{21} &= \frac{H \left( \frac{3b^2}{H^2} (1-p^2) + (1-3p^2+2p^4) \left( \frac{b^2}{a_1 a_2} + \frac{7}{H^2} + \gamma \right) \right)}{3 \left( (1-p^2) \left( \frac{b^2}{2a_1 a_2} + \frac{b^2}{H^2} + \frac{\gamma}{2} \right) + \left( \gamma + \frac{b^2}{a_1 a_2} \right) p^2 \ln(p) \right)}, \\ u_{01} &= \frac{2R_1 h}{\pi G(a_1 + a_2) \left( \left( \frac{2H^2}{2a_1 a_2} + \frac{H^2}{b^2} + 1 \right) (1-p^2) + H^2 \left( \frac{1}{b^2} + \frac{\gamma}{a_1 a_2} \right) p^2 \ln(p) \right)}, \\ u_{02} &= \frac{2R_2 h}{\pi G(a_1 + a_2) \left( \left( \frac{H^2}{2a_1 a_2} + \frac{2H^2}{b^2} + 1 \right) (1-p^2) + H^2 \left( \frac{\gamma}{b^2} + \frac{1}{a_1 a_2} \right) p^2 \ln(p) \right)}. \end{aligned}$$

Здесь  $\gamma_1 = \gamma - 2$ ,  $\gamma = 2(1-\nu)/(1-2\nu)$ ,  $h$  - толщина костной ткани, прилегающей к корню зуба.

Для определения углов поворота корня зуба относительно координатных осей воспользуемся следующими уравнениями:

$$\begin{aligned} x_{f2} P_1 - (x_{f3} - x_{12}) P_2 &= \varphi_1 \mu_1 + \varphi_3 \mu_{13}, \\ (x_{f3} - x_{11}) P_1 - (x_{f1} - x_{13}) P_3 &= \varphi_2 \mu_2, \\ (x_{f1} - x_{11}) P_2 - x_{f2} P_1 &= \varphi_3 \mu_{13} + \varphi_1 \mu_1, \end{aligned}$$

где  $P_1, P_2$  и  $P_3$  - проекции сосредоточенной нагрузки на оси координат,  $x_{f1} + x_{f2} + x_{f3}$  - координаты точки

$\frac{1}{4}/p>$

приложения силы,  $\mu_1$ ,  $\mu_2$ ,  $\mu_3$  - жесткости костной ткани при вращении корня зуба относительно координатных осей  $x_1$ ,  $x_2$ ,  $x_3$  соответственно. Параметр  $\mu_{13}$  характеризует момент сил, который нужно приложить вокруг оси  $x_1$ , чтобы повернуть зуб вокруг оси  $x_3$  на угол  $\varphi_3 = 1$ . Отсюда определим выражения для углов поворота корня зуба следующим образом:

$$\begin{aligned}\varphi_1 &= \frac{x_{13}(\delta\mu_1 + R\mu_2) + R(\mu_{13}(x_{13} - x_{13}) + \mu_3(x_{23} - x_{23}))}{(a_1 + a_2)(\mu_1 + \mu_3)}, \\ \varphi_2 &= \frac{R(x_{13} - x_{13}) - R(x_{23} - x_{23})}{(a_1 + a_2)\mu_2}, \\ \varphi_3 &= \frac{x_{13}(\delta\mu_1 + R\mu_2) + R(\mu_1(x_{13} - x_{13}) + \mu_{13}(x_{23} - x_{23}))}{(a_1 + a_2)(\mu_{13}^2 - \mu_1\mu_3)}.\end{aligned}\quad (4)$$

Подставляя в выражения (2) для перемещений углы поворота (4), а также соотношения для координат центров сопротивления и поступательных перемещений, получим формулы, определяющие перемещения корня зуба под действием сосредоточенной нагрузки.

**Расчет перемещений корней клыка и резца.** В соответствии с экспериментальными данными [10] проводим интерполяцию зависимости нагрузки от времени. При расчете перемещений клыка будем считать, что действие сосредоточенной нагрузки с течением времени в ослабленной и нормальной костной ткани описывается функциями  $P_c^{(1)}(t)$  и  $P_c^{(2)}(t)$  в соответствии с выражением:

$$P_c^{(1)} = P_c^{(2)} = P_0 \exp(-0.0038t),$$

где  $P_0$  - модуль сосредоточенной нагрузки, действующей на корень в начальный момент времени, со стороны ортодонтического аппарата.

Направление действия сосредоточенной нагрузки зададим таким образом, чтобы вектор силы к отрицательному направлению оси абсцисс и аппликат составлял  $60^\circ$  и  $30^\circ$  соответственно. Начальную величину сосредоточенной нагрузки  $P_0$  примем равной 6 Н. Геометрические размеры клыка описываются параметрами  $a_1 = 2$  мм,  $a_2 = 5$  мм,  $\delta = 4$  мм,  $H = 25.4$  мм,  $p = 0.5$  (высота корня зуба составляет 15.7 мм [14]). Координаты точки приложения нагрузки (в миллиметрах) составляют  $(7, 0, -25.1)$ , время действия нагрузки составляет 78 суток. На рисунке 1 показаны исходное положение корня зуба и положение корня, являющееся результатом действия на корень сосредоточенной нагрузки в ослабленной и нормальной костной ткани. Упругие свойства ослабленной костной ткани описываются модулем упругости  $E = 1610$  МПа, коэффициентом Пуассона  $\nu = 0.25$ , нормальной костной ткани -  $E = 80.5$  МПа,  $\nu = 0.125$  [3,11].

A

B

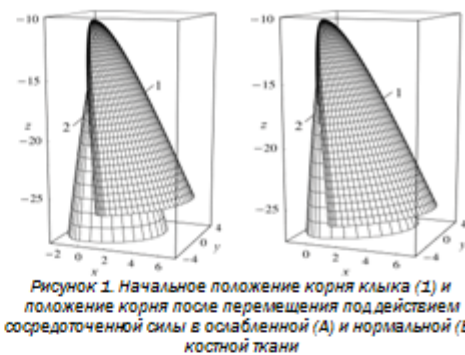


Рисунок 1. Начальное положение корня клыка (1) и положение корня после перемещения под действием сосредоточенной силы в ослабленной (A) и нормальной (B) костной ткани

Количественный анализ перемещений корня зуба, проведенный в плоскости  $y = 0$ , показывает, что в ослабленной костной ткани полное перемещение корня составляет  $\approx 3.8$  мм, в нормальной костной ткани - перемещение  $\approx 1.8$  мм. Чтобы перемещение корня клыка в нормальной костной ткани совпадало с перемещением в ослабленной костной ткани, необходимо воздействие сосредоточенной силы при  $P_0 = 6$  Н в течение 210 суток.

В случае перемещений резца под действием сосредоточенной нагрузки вестибуло-орального и вертикального направления соответственно примем, что ее действие стечением времени в ослабленной (функция  $P_r^{(1)}(t)$ ) и нормальной (функция  $P_r^{(2)}(t)$ ) костной ткани изменяется в соответствии с выражениями:

$$P_r^{(1)} = P_0 \exp(-0.002t),$$

$$P_r^{(2)} = P_0 \exp(-0.00375t).$$

При вычислениях для резца принимаем  $a_1 = a_2 = 2.5$  мм,  $\delta = 3$  мм,  $H = 17.07$  мм,  $p = 0.3$  (высота корня зуба составляет 12.7 мм [14]). Координаты точки приложения нагрузки (в миллиметрах) составляют  $(5.85, 0, -17.1)$ , время действия нагрузки составляет 137 суток, начальная нагрузка  $P_0 = 6$  Н. На рисунке 2 показаны исходное положение корня зуба и положение корня в ослабленной и нормальной костной ткани после действия на корень сосредоточенной нагрузки.

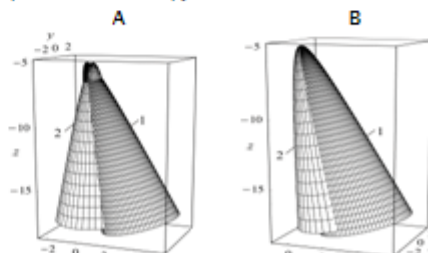


Рисунок 2. Начальное положение корня резца (1) и положение корня после перемещения под действием сосредоточенной силы в ослабленной (A) и нормальной (B) костной ткани

Количественный анализ перемещений корня зуба, проведенный в плоскости  $y = 0$ , показывает, что в ослабленной костной ткани полное перемещение корня составляет  $\approx 3.5$  мм, в нормальной костной ткани - перемещение  $\approx 1.5$  мм. Для перемещения корня резца в нормальной костной ткани на величину, равную перемещению резца в ослабленной костной ткани, необходимо воздействие сосредоточенной силы при

$P_0 = 6$  Н в течение 231 суток.

Полученные результаты могут быть использованы для прогнозирования действия ортодонтических аппаратов на однокоренные зубы при их перемещении в нормальной и ослабленной костной ткани и оценки времени действия нагрузки.

## **Литература**

1. Александрова, Ю. М. исправление зубочелюстных деформаций у взрослых / Ю. М. Александрова, А. Д. Мухина // Проблемы ортопедической стоматологии: Респ. межвед. сб. Киев: Здоровье, 1970. Вып. 4. С. 150–155.
2. Аль-Хаири, п. Н. Влияние вакуумного воздействия на ткани пародонта по данным экспериментально-морфологического исследования / п. Н. Аль-Хаири // Стоматология. 1979. № 2. С. 5–7.
3. Гипотетическая модель биомеханического взаимодействия зубов и опорных тканей челюсти при различных значениях жевательной нагрузки / Е. Н. Чумаченко [и др.] // Стоматология. 1999. № 5. Т. 78. С. 4–8.
4. Гунько, п. п. Клинико-экспериментальное обоснование применения физиотерапевтических методов в комплексном лечении зубочелюстных аномалий сформированного прикуса: автореф. дис. ... д-ра мед. наук: 14.00.21 / п. п. Гунько; Бел. гос. мед. ун-т. Минск, 2004. 42 с.
5. Ефанов, О. п. Влияние трилон Б - электрофореза на костную ткань челюстей в эксперименте / О. п. Ефанов, П. В. пванов // Новое в терапевтической детской и хирургической стоматологии: тез. докл. 8 Всесоюз. съезда стоматологов. М., 1987. Т. 2. С. 31–32.
6. пвшенко, С. В. Лечение аномалийного положения фронтальных зубов в сформированном прикусе с применением индуктотермоэлектрофореза трилона Б: автореф. дис. ... канд.мед.наук: 14.00.21 / С. В. пвшенко; Минский гос. мед. ин-т. Минск, 2000.19 с.
7. Козлов, В. А. Лечение аномалий челюстно-лицевой области / под ред. В. А. Козлова. Ташкент: Медицина, 1982. 282 с.
8. Криштаб, С. п. Применение вибрационного воздействия на зубы для ускорения ортодонтического лечения / С. п. Криштаб, С. п. Дорошенко, Г. п. Лютик // Стоматология. 1986. № 3. С.15–18.
9. Кулаженко, В. п. Вакуумный и электровакуумный метод диагностики и лечения стоматологических и некоторых воспалительно-дистрофических заболеваний: автореф. дис. ... д-ра мед. наук: 14.00.21 / В. п. Кулаженко; Одесский мед. ин-т. Одесса, 1967. 34 с.
10. Лурье, А. п. Теория упругости / А. п. Лурье. М., 1970. 940 с.
11. Матвейчук, п. В. Структурно-функциональная адаптация костной ткани как композита с учетом видовых, возрастных и функциональных особенностей: автореф. дис. ... д-ра биол. наук / п. В. Матвейчук. М., 1998. 49 с.
12. Наумович, С. А. Повышение эффективности комплексного (ортопедо-хирургического) лечения аномалий и деформаций зубочелюстной системы в сформированном прикусе (Клин.- эксперим.исслед.): автореф. дис. ... д-ра мед. наук: 14.00.21 / С. А. Наумович; Бел. гос. мед. ун-т. Минск, 2001. 42 с.
13. Наумович, С. А. Биомеханика системы зуб – периодонт / С. А. Наумович, А. Е. Крушевский. Минск, 2000. 132 с.
14. Наумович, С. А. Антропометрические данные коронок и корней зубов и их значение в стоматологии / С. А. Наумович, Р. А. Батура, С. Н. Пархамович // Стоматологический журнал. 2002. № 2. С. 21–22.
15. Симановская, Е. Ю. Физиотерапия как метод оптимизации ортодонтического лечения аномалий зубного ряда у детей старшего школьного возраста и взрослых / Е. Ю.

Симановская, Л. М. Гвоздева // Ортодонтия: методы профилактики, диагностики и лечения: тр. ЦНпС. М., 1990. С. 121–124.

16. Сорокина, Л. В. Стимуляция репаративных процессов очаговым дозированным вакуумом при ортодонтическом лечении: автореф. дис. ... канд. мед. наук: 14.00.21 / Л. В. Сорокина; Одесский мед. ин-т. Одесса, 1974. 16 с.

17. Чумаков, А. Н. Результаты горизонтального и вертикального перемещения зубов у детей на фоне ультразвукового воздействия на костную ткань нижней челюсти / А. Н. Чумаков, В. Г. Лавриков // Стоматология. 1988. № 4. С. 69–70